

Multiplieurs parallèles et pipelinés pour le calcul de couplage en caractéristiques 2 et 3

Nicolas Estibals

6 novembre



Contexte

Calcul de
couplage

Algorithmes de
multiplication sur
 \mathbb{F}_{p^m}

Architecture et
implémentation
du multiplieur

Performance du
coprocesseur
complet

Conclusion

Introduction (*i/ii*)

- ▶ Thématique :
 - ▶ Cryptographie sur courbes elliptiques (couplages)
 - ▶ Arithmétique des corps finis
 - ▶ Matériel
- ▶ Étude des algorithmes de multiplication sur \mathbb{F}_{p^m}
- ▶ Implémentation matérielle sur FPGA

Introduction (ii/ii)

- ▶ Travaux réalisés durant mon stage de Master 1 :
 - ▶ au LCIS (Laboratory of Cryptography and Information Security)
 - ▶ à l'université de Tsukuba, Japon
 - ▶ sous l'encadrement de Jean-Luc Beuchat
- ▶ Travaux réalisés en collaboration avec :
 - Jean-Luc Beuchat LCIS, Université de Tsukuba, Japon
 - Nidia Cortez-Duarte CSD, IPN, Mexico, Mexique
 - Jérémy Detrey Équipe CACAO, INRIA Nancy - Grand Est, France
 - Eiji Okamoto LCIS, Université de Tsukuba, Japon
 - Francisco Rodríguez-Henríquez CSD, IPN, Mexico, Mexique

Plan de l'exposé

Contexte

Calcul de couplage

Algorithmes de multiplication sur \mathbb{F}_{p^m}

Architecture et implémentation du multiplieur

Performance du coprocesseur complet

Conclusion

Multiplieurs
parallèles
pipelinés sur
corps fini

Nicolas Estibals

Contexte

Calcul de
couplage

Algorithmes de
multiplication sur
 \mathbb{F}_{p^m}

Architecture et
implémentation
du multiplieur

Performance du
coprocesseur
complet

Conclusion

Contexte

Calcul de couplage

Algorithmes de multiplication sur \mathbb{F}_{p^m}

Architecture et implémentation du multiplieur

Performance du coprocesseur complet

Conclusion

Contexte

Calcul de
couplage

Algorithmes de
multiplication sur
 \mathbb{F}_{p^m}

Architecture et
implémentation
du multiplieur

Performance du
coprocesseur
complet

Conclusion

Cryptosystèmes à clef publique

Multiplieurs
parallèles
pipelinés sur
corps fini

Nicolas Estivals

Contexte

Calcul de
couplage

Algorithmes de
multiplication sur
 \mathbb{F}_{p^m}

Architecture et
implémentation
du multiplieur

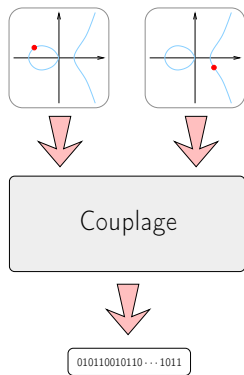
Performance du
coprocesseur
complet

Conclusion

- ▶ RSA :
 - ▶ Rivest, Shamir et Adleman en 1977
 - ▶ Basé sur l'arithmétique des entiers modulo
 - ▶ Problème associé : factorisation de grands entiers
- ▶ ECC :
 - ▶ *Elliptic Curve Cryptography*
 - ▶ Neal Koblitz et Victor Miller en 1985
 - ▶ Basé sur le groupe des points d'une courbe elliptique
 - ▶ Problème associé : logarithme discret

AES	RSA	ECC
80 bits	1024 bits	160 bits
112 bits	2048 bits	224 bits
128 bits	3072 bits	256 bits
256 bits	15360 bits	521 bits

- ▶ 1993 : Menezes, Okamoto et Vanstone, attaque contre le logarithme discret sur les courbes elliptiques
- ▶ 2000 : Joux, système cryptographique utilisant les couplages
- ▶ Permet de nombreux protocoles cryptographiques originaux (signature basée sur l'identité, ...)



- ▶ 1993 : Menezes, Okamoto et Vanstone, attaque contre le logarithme discret sur les courbes elliptiques
- ▶ 2000 : Joux, système cryptographique utilisant les couplages
- ▶ Permet de nombreux protocoles cryptographiques originaux (signature basée sur l'identité, ...)

Définition formelle d'un couplage

Définition (Couplage)

Un couplage est une application bilinéaire $\hat{e} : G_1 \times G_1 \rightarrow G_2$ où G_1 et G_2 sont des groupes cycliques de même cardinal :

$$\forall P, Q \in G_1, \forall a, b \in \mathbb{Z}, \hat{e}(aP, bQ) = \hat{e}(P, Q)^{ab}$$

$$\forall P \in G_1^*, \hat{e}(P, P) \neq 1$$

G_1 est un sous-groupe des points d'une courbe elliptique sur \mathbb{F}_{p^m} ,
 G_2 un sous-groupe d'une extension de \mathbb{F}_{p^m} .

Les couplages en matériel

Multiplieurs
parallèles
pipelinés sur
corps fini

Nicolas Estivals

Calcul d'un couplage :

- ▶ exigeant en ressources
- ▶ arithmétique spécifique
- ▶ processeurs généralistes non-adaptés (petite caractéristique)
 - ⇒ implémentations logicielles peu performantes

Développer du matériel pour :

- ▶ FPGA
- ▶ systèmes embarqués (carte à puce, tag RFID, ...)

Contexte

Calcul de
couplage

Algorithmes de
multiplication sur
 \mathbb{F}_{p^m}

Architecture et
implémentation
du multiplieur

Performance du
coprocesseur
complet

Conclusion

Coprocasseur calculant un couplage :

- ▶ Architecture et algorithme adaptables :
 - ▶ Caractéristiques 2 et 3
 - ▶ Différents niveaux de sécurité
- ▶ Rapide

Multiplieur performant :

- ▶ Beaucoup de produits dans le calcul d'un couplage
- ▶ Parallèle
- ▶ Pipeliné

Contexte

Calcul de couplage

Algorithmes de multiplication sur \mathbb{F}_{p^m}

Architecture et implémentation du multiplieur

Performance du coprocesseur complet

Conclusion

Contexte

Calcul de
couplage

Algorithmes de
multiplication sur
 \mathbb{F}_{p^m}

Architecture et
implémentation
du multiplieur

Performance du
coprocesseur
complet

Conclusion

Algorithmes de couplage

Multiplieurs
parallèles
pipelinés sur
corps fini

Nicolas Estibals

Contexte

Calcul de
couplage

Algorithmes de
multiplication sur
 \mathbb{F}_{p^m}

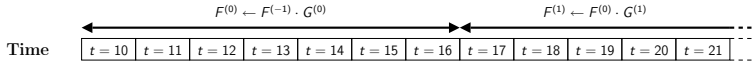
Architecture et
implémentation
du multiplieur

Performance du
coprocesseur
complet

Conclusion

- ▶ Weil(1940), Tate(1966) : définitions mais calcul exponentiel
- ▶ Miller(1986) : premier algorithme efficace, une boucle avec :
 - ▶ Additions, Frobenius sur \mathbb{F}_{p^m} (facile)
 - ▶ Multiplications sur \mathbb{F}_{p^m} (difficile)
- ▶ Nombreuses variations et améliorations par la suite
- ▶ η_T meilleur moyen de calculer un couplage de Tate
- ▶ Quel multiplieur pour quelles performances ?
- ▶ Problème : s'assurer que le pipeline reste plein

Un ordonnancement serré (caractéristique 2)



Inputs of the pipelined Karatsuba-Ofman multiplier

M_0	$u^{(1)}$	$f_0^{(-1)}$	$f_1^{(-1)}$	$a_1^{(0)}$	$f_2^{(-1)}$	$f_3^{(-1)}$	$a_2^{(0)}$	$u^{(2)}$	$f_0^{(0)}$	$f_1^{(0)}$	$a_1^{(1)}$	$f_2^{(0)}$
M_1	$v^{(1)}$	$g_0^{(0)}$	$g_1^{(0)}$	$a_0^{(0)}$	$g_0^{(0)}$	$g_1^{(0)}$	$a_0^{(0)}$	$v^{(2)}$	$g_0^{(1)}$	$g_1^{(1)}$	$a_0^{(1)}$	$g_0^{(1)}$

Content of the pipeline

1st stage	$u^{(1)} \cdot v^{(1)}$	$m_0^{(0)}$	$m_1^{(0)}$	$m_2^{(0)}$	$m_3^{(0)}$	$m_4^{(0)}$	$m_5^{(0)}$	$u^{(2)} \cdot v^{(2)}$	$m_0^{(1)}$	$m_1^{(1)}$	$m_2^{(1)}$	$m_3^{(1)}$
2nd stage		$u^{(1)} \cdot v^{(1)}$	$m_0^{(0)}$	$m_1^{(0)}$	$m_2^{(0)}$	$m_3^{(0)}$	$m_4^{(0)}$	$m_5^{(0)}$	$u^{(2)} \cdot v^{(2)}$	$m_0^{(1)}$	$m_1^{(1)}$	$m_2^{(1)}$
3rd stage			$u^{(1)} \cdot v^{(1)}$	$m_0^{(0)}$	$m_1^{(0)}$	$m_2^{(0)}$	$m_3^{(0)}$	$m_4^{(0)}$	$m_5^{(0)}$	$u^{(2)} \cdot v^{(2)}$	$m_0^{(1)}$	$m_1^{(1)}$
4th stage				$u^{(1)} \cdot v^{(1)}$	$m_0^{(0)}$	$m_1^{(0)}$	$m_2^{(0)}$	$m_3^{(0)}$	$m_4^{(0)}$	$m_5^{(0)}$	$u^{(2)} \cdot v^{(2)}$	$m_0^{(1)}$
5th stage					$u^{(1)} \cdot v^{(1)}$	$m_0^{(0)}$	$m_1^{(0)}$	$m_2^{(0)}$	$m_3^{(0)}$	$m_4^{(0)}$	$m_5^{(0)}$	$u^{(2)} \cdot v^{(2)}$

Inputs of the 4-operand adder

A_0	$m_1^{(0)}$	$m_4^{(0)}$	$m_0^{(0)}$	$m_5^{(0)}$
A_1	$m_0^{(0)}$	$m_0^{(0)}$	$m_2^{(0)}$	$m_2^{(0)}$
A_2	0	$f_2^{(-1)}$	$f_2^{(-1)}$	$f_3^{(-1)}$
A_3	$f_3^{(-1)}$	$f_3^{(-1)}$	$f_0^{(-1)}$	$f_1^{(-1)}$

Output of the 4-operand adder

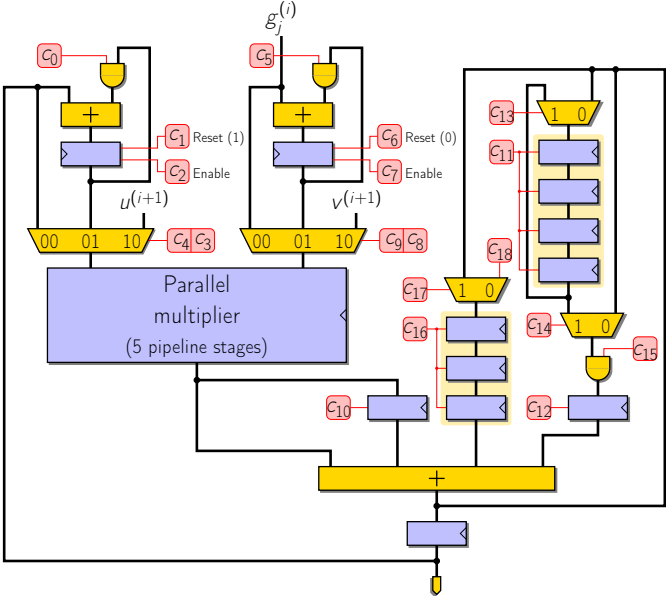
$f_0^{(0)}$	$f_1^{(0)}$	$f_2^{(0)}$	$f_3^{(0)}$
-------------	-------------	-------------	-------------

⇒ Avec un multiplieur en 5 cycles le pipeline reste rempli

Design du coprocesseur (caractéristique 2)

Multiplieurs
parallèles
pipelinés sur
corps fini

Nicolas Estibals



Contexte

Calcul de
couplage

Algorithmes de
multiplication sur
 \mathbb{F}_{p^m}

Architecture et
implémentation
du multiplieur

Performance du
coprocesseur
complet

Conclusion

Contexte

Calcul de couplage

Algorithmes de multiplication sur \mathbb{F}_{p^m}

Architecture et implémentation du multiplieur

Performance du coprocesseur complet

Conclusion

Contexte

Calcul de
couplage

Algorithmes de
multiplication sur
 \mathbb{F}_{p^m}

Architecture et
implémentation
du multiplieur

Performance du
coprocesseur
complet

Conclusion

De \mathbb{F}_{p^m} à $\mathbb{F}_p[X]$

- ▶ Représentation des éléments de \mathbb{F}_{p^m}
⇒ Polynômes sur \mathbb{F}_p modulo un polynôme irréductible
- ▶ Représentation canonique
⇒ Polynôme de degré $m - 1$ au plus

De \mathbb{F}_{p^m} à $\mathbb{F}_p[X]$

- ▶ Représentation des éléments de \mathbb{F}_{p^m}
⇒ Polynômes sur \mathbb{F}_p modulo un polynôme irréductible
- ▶ Représentation canonique
⇒ Polynôme de degré $m - 1$ au plus
- ▶ Multiplier deux polynômes de degré $m - 1$ donne un polynôme de degré $2m - 2$ au plus

De \mathbb{F}_{p^m} à $\mathbb{F}_p[X]$

- ▶ Représentation des éléments de \mathbb{F}_{p^m}
⇒ Polynômes sur \mathbb{F}_p modulo un polynôme irréductible
- ▶ Représentation canonique
⇒ Polynôme de degré $m - 1$ au plus
- ▶ Multiplier deux polynômes de degré $m - 1$ donne un polynôme de degré $2m - 2$ au plus
- ▶ Choix du polynôme irréductible déterminant
- ▶ Polynôme le plus creux possible
⇒ Réduction modulaire plus simple

Algorithme naïf

- ▶ L'algorithme appris en primaire (*paper-and-pencil, schoolbook*)
- ▶ Calculer le produit de tous les coefficients
- ▶ Le sommer correctement
- ▶ Pas de retenue
- ▶ Complexité en $O(m^2)$

$$\begin{array}{r} 1\ 2\ 1\ 0\ 0\ 2 \\ \times 2\ 1\ 2\ 1\ 0\ 1 \\ \hline 1\ 2\ 1\ 0\ 0\ 2 \\ 0\ 0\ 0\ 0\ 0\ 0 \\ 1\ 2\ 1\ 0\ 0\ 2 \\ 2\ 1\ 2\ 0\ 0\ 1 \\ 1\ 2\ 1\ 0\ 0\ 2 \\ 2\ 1\ 2\ 0\ 0\ 1 \\ \hline 2\ 2\ 0\ 0\ 1\ 0\ 1\ 2\ 2\ 0\ 2 \end{array}$$

$$\begin{aligned} & (X^5 + 2X^4 + X^3 + 2) \\ & \times (2X^5 + X^4 + 2X^3 + X^2 + 1) \\ & = 2X^{10} + 2X^9 + X^6 + X^4 + 2X^3 \\ & \quad + 2X^2 + 2 \end{aligned}$$

Algorithme de Karatsuba-Offman

A

B

$A \cdot B$

Multiplieurs
parallèles
pipelinés sur
corps fini

Nicolas Estibals

Contexte

Calcul de
couplage

Algorithmes de
multiplication sur
 \mathbb{F}_{p^m}

Architecture et
implémentation
du multiplieur

Performance du
coprocesseur
complet

Conclusion

Algorithme de Karatsuba-Offman

Approche *divide-and-conquer*

A_H A_L

B_H B_L

$$A_H B_H X^{2n} + (A_H B_L + A_L B_H) X^n + A_L B_L$$

Multiplieurs
parallèles
pipelinés sur
corps fini

Nicolas Estibals

Contexte

Calcul de
couplage

Algorithmes de
multiplication sur
 \mathbb{F}_{p^m}

Architecture et
implémentation
du multiplieur

Performance du
coprocesseur
complet

Conclusion

Algorithme de Karatsuba-Offman

Approche *divide-and-conquer*

$$A_H \quad A_L$$

$$B_H \quad B_L$$

$$A_H B_H X^{2n} + (A_H B_L + A_L B_H) X^n + A_L B_L$$

$$ab' + a'b = (a + a')(b + b') - ab - a'b'$$

$$A_H B_H X^{2n} + ((A_H + A_L)(B_H + B_L) - A_H B_H - A_L B_L) X^n + A_L B_L$$

Multiplieurs
parallèles
pipelinés sur
corps fini

Nicolas Estibals

Contexte

Calcul de
couplage

Algorithmes de
multiplication sur
 \mathbb{F}_{p^m}

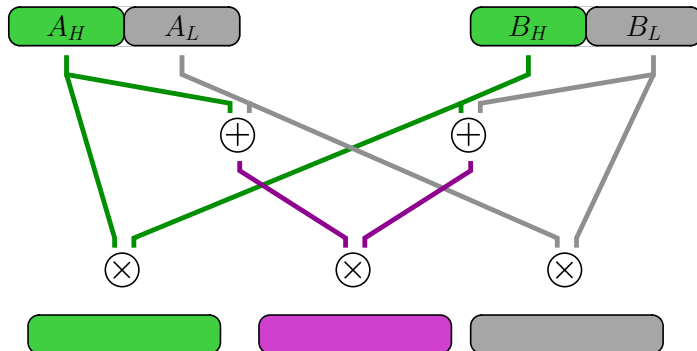
Architecture et
implémentation
du multiplieur

Performance du
coprocesseur
complet

Conclusion

Algorithme de Karatsuba-Offman

Approche *divide-and-conquer*



Multiplieurs
parallèles
pipelinés sur
corps fini

Nicolas Estibals

Contexte

Calcul de
couplage

Algorithmes de
multiplication sur
 \mathbb{F}_{p^m}

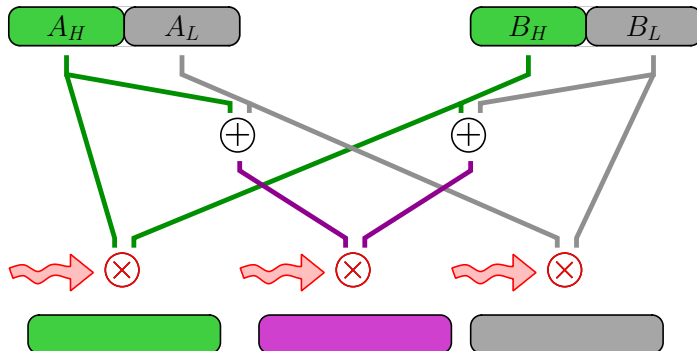
Architecture et
implémentation
du multiplieur

Performance du
coprocesseur
complet

Conclusion

Algorithme de Karatsuba-Offman

Approche *divide-and-conquer*



Multiplieurs
parallèles
pipelinés sur
corps fini

Nicolas Estibals

Contexte

Calcul de
couplage

Algorithmes de
multiplication sur
 \mathbb{F}_{p^m}

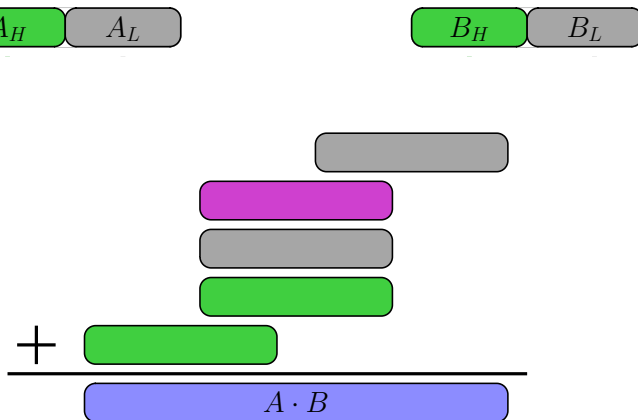
Architecture et
implémentation
du multiplieur

Performance du
coprocesseur
complet

Conclusion

Algorithme de Karatsuba-Offman

Approche *divide-and-conquer*



Complexité en $\Theta(n^{1.58})$

Multiplieurs
parallèles
pipelinés sur
corps fini

Nicolas Estibals

Contexte

Calcul de
couplage

Algorithmes de
multiplication sur
 \mathbb{F}_{p^m}

Architecture et
implémentation
du multiplieur

Performance du
coprocesseur
complet

Conclusion

Algorithme de Karatsuba-Offman sans recouvrement

A

B

$A \cdot B$

Multiplieurs
parallèles
pipelinés sur
corps fini

Nicolas Estibals

Contexte

Calcul de
couplage

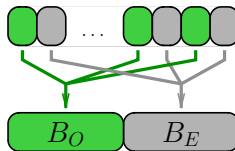
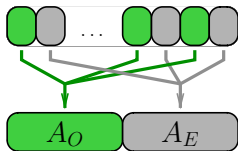
Algorithmes de
multiplication sur
 \mathbb{F}_{p^m}

Architecture et
implémentation
du multiplieur

Performance du
coprocesseur
complet

Conclusion

Algorithme de Karatsuba-Offman sans recouvrement



$$(A_0B_0X^2 + A_EB_E) + X(A_0B_E + A_EB_0)$$

Multiplieurs
parallèles
pipelinés sur
corps fini

Nicolas Estibals

Contexte

Calcul de
couplage

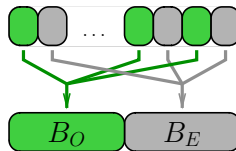
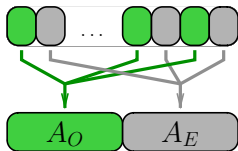
Algorithmes de
multiplication sur
 \mathbb{F}_{p^m}

Architecture et
implémentation
du multiplieur

Performance du
coprocesseur
complet

Conclusion

Algorithme de Karatsuba-Offman sans recouvrement

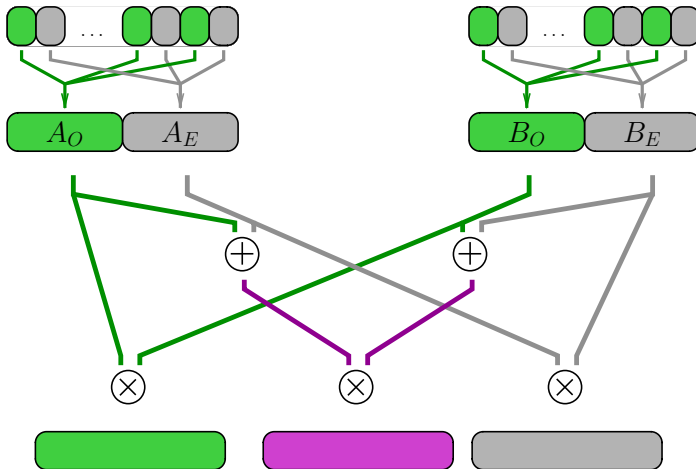


$$(A_0B_0X^2 + A_EB_E) + X(A_0B_E + A_EB_0)$$

$$ab' + a'b = (a + a')(b + b') - ab - a'b'$$

$$(A_0B_0X^2 + A_EB_E) + X((A_0 + A_E)(B_0 + B_E) - A_0B_0 - A_EB_E)$$

Algorithme de Karatsuba-Offman sans recouvrement



Multiplieurs
parallèles
pipelinés sur
corps fini

Nicolas Estibals

Contexte

Calcul de
couplage

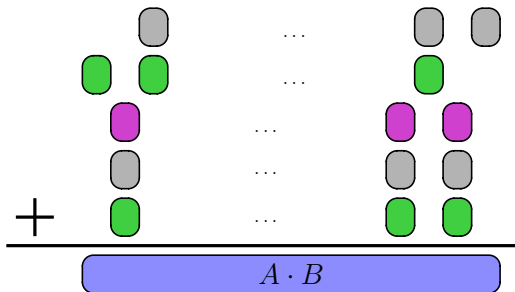
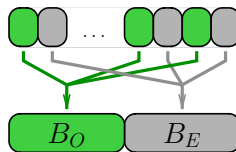
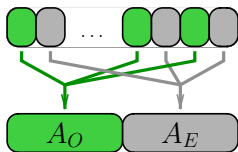
Algorithmes de
multiplication sur
 \mathbb{F}_{p^m}

Architecture et
implémentation
du multiplieur

Performance du
coprocesseur
complet

Conclusion

Algorithme de Karatsuba-Offman sans recouvrement



Multiplieurs
parallèles
pipelinés sur
corps fini

Nicolas Estibals

Contexte

Calcul de
couplage

Algorithmes de
multiplication sur
 \mathbb{F}_{p^m}

Architecture et
implémentation
du multiplieur

Performance du
coprocesseur
complet

Conclusion

D'autres variations

- ▶ Karatsuba-Offman : découpe des opérandes en 3, 5, ... parties
- ▶ Toom-Cook : schéma en évaluation-interpolation
- ▶ Formule de Montgomery, ...
- ▶ Encore à explorer

Une approche mixte

- ▶ Utiliser différents algorithmes selon le degré
⇒ selon l'étage de récursion
- ▶ L'algorithme naïf est le meilleur pour les petits degrés
- ▶ Karatsuba est meilleur dès que m grandit
- ▶ Et quand m grandit encore ?
- ▶ Éviter l'ajout de zéros non significatifs

Contexte

Calcul de couplage

Algorithmes de multiplication sur \mathbb{F}_{p^m}

Architecture et implémentation du multiplieur

Performance du coprocesseur complet

Conclusion

Contexte

Calcul de
couplage

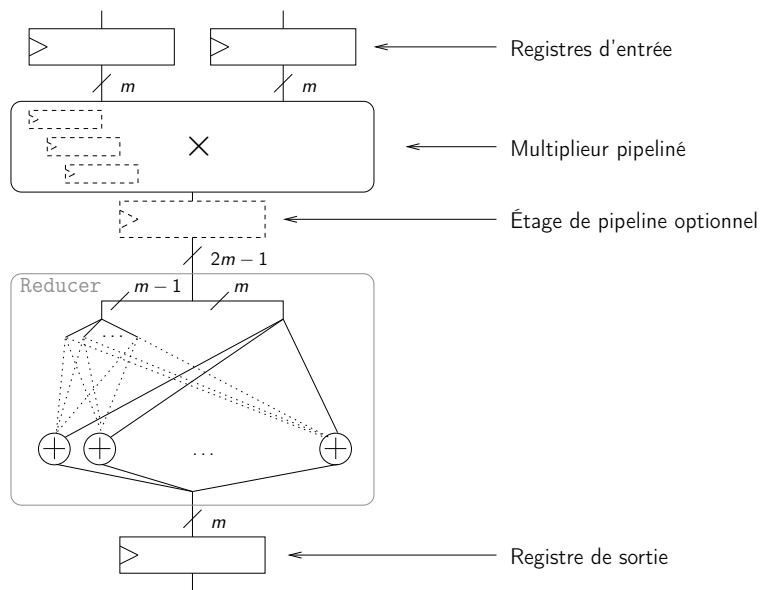
Algorithmes de
multiplication sur
 \mathbb{F}_{p^m}

**Architecture et
implémentation
du multiplieur**

Performance du
coprocesseur
complet

Conclusion

Architecture du multiplieur



Multiplieurs
parallèles
pipelinés sur
corps fini

Nicolas Estibals

Contexte

Calcul de
couplage

Algorithmes de
multiplication sur
 \mathbb{F}_p^m

Architecture et
implémentation
du multiplieur

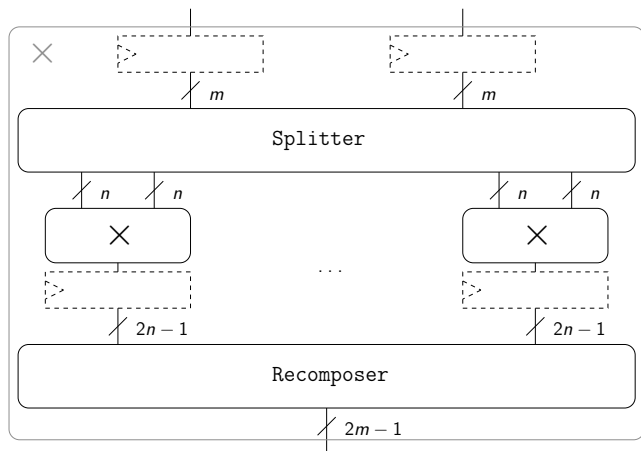
Performance du
coprocesseur
complet

Conclusion

Architecture d'un étage de récursion pour le multiplieur

Multiplieurs
parallèles
pipelinés sur
corps fini

Nicolas Estivals



Contexte

Calcul de
couplage

Algorithmes de
multiplication sur
 \mathbb{F}_p^m

Architecture et
implémentation
du multiplieur

Performance du
coprocesseur
complet

Conclusion

Un générateur d'architecture (i/ii)

- ▶ Besoin d'implémentation en caractéristique 2 et 3, pour différentes tailles
 - ▶ Tester différentes implémentations
 - ▶ Tester différents niveaux de pipeline
 - ▶ Tester différents compromis temps-surface
- ⇒ Générateur d'architecture

Un générateur d'architecture (ii/ii)

- ▶ Générateur écrit en Python
- ▶ Description des architectures en VHDL
- ▶ Génère des tests
- ▶ Choix de l'algorithme pour chaque étage de la récursion
- ▶ Choix de la place des registres
- ▶ Outils pour l'implémentation rapide de nouveaux algorithmes :
 - ▶ Modèle du VHDL,
 - ▶ Représentation formelle des signaux (indépendante de la caractéristique),
 - ▶ Traduction automatique des sommes, ...

Multiplieurs
parallèles
pipelinés sur
corps fini

Nicolas Estivals

Contexte

Calcul de
couplage

Algorithmes de
multiplication sur
 \mathbb{F}_{p^m}

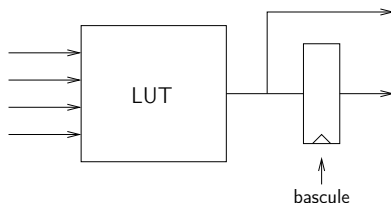
Architecture et
implémentation
du multiplieur

Performance du
coprocesseur
complet

Conclusion

Implémentation sur FPGA (Virtex II pro)

- ▶ \mathbb{F}_2 représenté par un bit
- ▶ \mathbb{F}_3 représenté sur deux bits (*borrow-save*)



Sur FPGA, brique de base \rightarrow LUT

- ▶ Toutes les portes à 4 entrées 1 sortie
- ▶ Même coût pour additionner 2,3 ou 4 éléments de \mathbb{F}_2
- ▶ Deux LUT pour sommer deux éléments de \mathbb{F}_3

Performance des architectures générées en caractéristique 2

Multiplieurs
parallèles
pipelinés sur
corps fini

Nicolas Estivals

Algorithme	\mathbb{F}_{p^m}	Temps (ns)	Fréquence (MHz)	Surface (slices)	Produit temps- surface ($\mu s \cdot slices$)
$\mathcal{K}_{2,239}$, $\mathcal{K}_{2,120}$, $\mathcal{K}_{2,60}$, $\mathcal{K}_{2,30}$, $\mathcal{K}_{2,15}$, Naïf	$\mathbb{F}_{2^{239}}$	7.477	134	9028	67.5
$\mathcal{K}'_{2,239}$, $\mathcal{K}'_{2,120}$, $\mathcal{K}'_{2,60}$, $\mathcal{K}'_{2,30}$, $\mathcal{K}'_{2,15}$, Naïf	$\mathbb{F}_{2^{239}}$	7.533	133	10897	82.1
$\mathcal{K}_{2,239}$, $\mathcal{K}_{2,120}$, $\mathcal{K}_{2,60}$, $\mathcal{K}_{2,30}$, Naïf	$\mathbb{F}_{2^{239}}$	6.783	147	11792	80.0
$\mathcal{K}_{3,239}$, $\mathcal{K}_{2,80}$, $\mathcal{K}_{2,40}$, $\mathcal{K}_{2,20}$, Naïf	$\mathbb{F}_{2^{239}}$	6.801	147	9237	62.8
$\mathcal{K}'_{3,239}$, $\mathcal{K}_{2,80}$, $\mathcal{K}_{2,40}$, $\mathcal{K}_{2,20}$, Naïf	$\mathbb{F}_{2^{239}}$	6.798	147	9218	62.7
$\mathcal{K}_{2,313}$, $\mathcal{K}_{2,157}$, $\mathcal{K}_{2,79}$, $\mathcal{K}_{2,40}$, $\mathcal{K}_{2,20}$, Naïf	$\mathbb{F}_{2^{313}}$	8.143	123	13708	112
$\mathcal{K}'_{3,313}$, $\mathcal{K}_{2,105}$, $\mathcal{K}_{2,53}$, $\mathcal{K}_{2,27}$, $\mathcal{K}_{2,14}$, Naïf	$\mathbb{F}_{2^{313}}$	8.882	113	14567	129

Contexte

Calcul de
couplage

Algorithmes de
multiplication sur
 \mathbb{F}_{p^m}

Architecture et
implémentation
du multiplieur

Performance du
coprocesseur
complet

Conclusion

Pipeliné sur 5 étages

Performance des architectures générées en caractéristique 3

Multiplieurs
parallèles
pipelinés sur
corps fini

Nicolas Estivals

Contexte

Calcul de
couplage

Algorithmes de
multiplication sur
 \mathbb{F}_{p^m}

Architecture et
implémentation
du multiplieur

Performance du
coprocesseur
complet

Conclusion

Algorithme	\mathbb{F}_{p^m}	Temps (ns)	Fréquence (MHz)	Surface (slices)	Produit temps- surface ($\mu s \cdot slices$)
$\mathcal{K}_{2,97}$, $\mathcal{K}_{2,49}$, $\mathcal{K}_{2,25}$, $\mathcal{K}_{2,13}$, $\mathcal{K}_{2,7}$, Naïf	\mathbb{F}_{397}	7.987	125	10403	83,1
$\mathcal{K}'_{2,97}$, $\mathcal{K}'_{2,49}$, $\mathcal{K}'_{2,25}$, $\mathcal{K}'_{2,13}$, $\mathcal{K}'_{2,7}$, Naïf	\mathbb{F}_{397}	7.705	130	10316	79.5
$\mathcal{K}'_{3,97}$, $\mathcal{K}'_{2,33}$, $\mathcal{K}'_{2,17}$, $\mathcal{K}'_{2,9}$, $\mathcal{K}'_{2,5}$, Naïf	\mathbb{F}_{397}	7.299	137	11357	82.9
$\mathcal{K}'_{2,167}$, $\mathcal{K}'_{2,84}$, $\mathcal{K}'_{2,42}$, $\mathcal{K}'_{2,21}$, $\mathcal{K}'_{2,11}$, $\mathcal{K}'_{2,6}$, Naïf	\mathbb{F}_{3167}	8.999	111	27099	244
$\mathcal{K}'_{3,167}$, $\mathcal{K}'_{2,56}$, $\mathcal{K}'_{2,28}$, $\mathcal{K}'_{2,14}$, $\mathcal{K}'_{2,7}$, Naïf	\mathbb{F}_{3167}	10.05	100	26313	264

Pipeliné sur 7 étages

Comparaison avec d'autres multiplieurs de la littérature

Multiplieurs
parallèles
pipelinés sur
corps fini

Nicolas Estivals

Contexte

Calcul de
couplage

Algorithmes de
multiplication sur
 \mathbb{F}_{p^m}

Architecture et
implémentation
du multiplieur

Performance du
coprocesseur
complet

Conclusion

Algorithme	\mathbb{F}_{p^m}	FPGA	Temps (ns)	Fréq. (MHz)	Surface (slices)	$A \cdot T$ ($\mu s \cdot slices$)
G. Bertoni <i>et al.</i> (2003)	\mathbb{F}_{397}	Virtex II pro	74.15	94	3561	264
J.-L. Beuchat <i>et al.</i> (2007)	\mathbb{F}_{397}	Cyclone II	221.5	149	700	155
$\mathcal{K}'_{2,97}$, $\mathcal{K}'_{2,49}$, $\mathcal{K}'_{2,25}$, $\mathcal{K}'_{2,13}$, $\mathcal{K}'_{2,7}$, Naïf	\mathbb{F}_{397}	Virtex II pro	7.705	130	10316	79.5

Contexte

Calcul de couplage

Algorithmes de multiplication sur \mathbb{F}_{p^m}

Architecture et implémentation du multiplieur

Performance du coprocesseur complet

Conclusion

Contexte

Calcul de
couplage

Algorithmes de
multiplication sur
 \mathbb{F}_{p^m}

Architecture et
implémentation
du multiplieur

Performance du
coprocesseur
complet

Conclusion

Comparaison avec la littérature

Multiplieurs
parallèles
pipelinés sur
corps fini

Nicolas Estivals

Algorithme	\mathbb{F}_{p^m}	FPGA	Temps (μs)	Surface (slices)	$A \cdot T$ ($ms \cdot slices$)
Beuchat <i>et al.</i> (2007)	$\mathbb{F}_{2^{239}}$	Virtex II pro	127	2736	347
Shu <i>et al.</i> (2006)	$\mathbb{F}_{2^{239}}$	Virtex II pro	41	25287	1040
Notre approche	$\mathbb{F}_{2^{239}}$	Virtex II pro	5.2	15799	82.2

Contexte

Calcul de
couplage

Algorithmes de
multiplication sur
 \mathbb{F}_{p^m}

Architecture et
implémentation
du multiplieur

Performance du
coprocesseur
complet

Conclusion

Comparaison avec la littérature

Multiplieurs
parallèles
pipelinés sur
corps fini

Nicolas Estivals

Algorithme	\mathbb{F}_{p^m}	FPGA	Temps (μs)	Surface (slices)	$A \cdot T$ ($ms \cdot slices$)
Beuchat <i>et al.</i> (2007)	$\mathbb{F}_{2^{239}}$	Virtex II pro	127	2736	347
Shu <i>et al.</i> (2006)	$\mathbb{F}_{2^{239}}$	Virtex II pro	41	25287	1040
Notre approche	$\mathbb{F}_{2^{239}}$	Virtex II pro	5.2	15799	82.2
Ronan <i>et al.</i> (2006)	$\mathbb{F}_{2^{313}}$	Virtex II pro	124	41078	5090
Beuchat <i>et al.</i> (2008)	$\mathbb{F}_{2^{313}}$	Virtex II pro	213	3731	794
Notre approche	$\mathbb{F}_{2^{313}}$	Virtex II pro	7.8	22356	174

Contexte

Calcul de
couplage

Algorithmes de
multiplication sur
 \mathbb{F}_{p^m}

Architecture et
implémentation
du multiplieur

Performance du
coprocesseur
complet

Conclusion

Comparaison avec la littérature

Multiplieurs
parallèles
pipelinés sur
corps fini

Nicolas Estivals

Algorithme	\mathbb{F}_{p^m}	FPGA	Temps (μs)	Surface (slices)	$A \cdot T$ ($ms \cdot slices$)
Beuchat <i>et al.</i> (2007)	$\mathbb{F}_{2^{239}}$	Virtex II pro	127	2736	347
Shu <i>et al.</i> (2006)	$\mathbb{F}_{2^{239}}$	Virtex II pro	41	25287	1040
Notre approche	$\mathbb{F}_{2^{239}}$	Virtex II pro	5.2	15799	82.2
Ronan <i>et al.</i> (2006)	$\mathbb{F}_{2^{313}}$	Virtex II pro	124	41078	5090
Beuchat <i>et al.</i> (2008)	$\mathbb{F}_{2^{313}}$	Virtex II pro	213	3731	794
Notre approche	$\mathbb{F}_{2^{313}}$	Virtex II pro	7.8	22356	174
Jiang (2007)	$\mathbb{F}_{3^{97}}$	Virtex 4	21	74105	1560
Notre approche	$\mathbb{F}_{3^{97}}$	Virtex 4	4.25	18360	78
Beuchat <i>et al.</i> (2008)	$\mathbb{F}_{3^{97}}$	Virtex II pro	117	2711	317
Notre approche	$\mathbb{F}_{3^{97}}$	Virtex II pro	8.5	18360	156

Contexte

Calcul de
couplage

Algorithmes de
multiplication sur
 \mathbb{F}_{p^m}

Architecture et
implémentation
du multiplieur

Performance du
coprocesseur
complet

Conclusion

Contexte

Calcul de couplage

Algorithmes de multiplication sur \mathbb{F}_{p^m}

Architecture et implémentation du multiplieur

Performance du coprocesseur complet

Conclusion

Contexte

Calcul de
couplage

Algorithmes de
multiplication sur
 \mathbb{F}_{p^m}

Architecture et
implémentation
du multiplieur

Performance du
coprocesseur
complet

Conclusion

Conclusion (i/ii)

- ▶ Faire le pari de la parallélisation
- ▶ Adapter le calcul de couplage
- ▶ Étude d'algorithmes de multiplication parallèle
- ▶ Implémentation matérielle pipelinée
- ▶ Générateur de multiplieurs en caractéristiques 2 et 3

Conclusion (ii/ii)

Ces travaux m'ont beaucoup apporté :

- ▶ Arithmétique des corps finis
- ▶ *Elliptic Curve Cryptography*
- ▶ Conception d'architectures
- ▶ FPGA :
 - ▶ programmation en VHDL
 - ▶ outils de synthèse et de simulation
- ▶ Génération de code
- ▶ Sushi, tempura !!!

- ▶ D'autres algorithmes de multiplication :
 - ▶ Toom-Cook
 - ▶ Formules de Montgomery
 - ▶ ...
- ▶ Étude sur des extensions plus grandes
- ▶ Arithmétique en caractéristique p

Merci pour votre attention

Multiplieurs
parallèles
pipelinés sur
corps fini

Nicolas Estivals

Contexte

Calcul de
couplage

Algorithmes de
multiplication sur
 \mathbb{F}_{p^m}

Architecture et
implémentation
du multiplieur

Performance du
coprocesseur
complet

Conclusion

Des Questions ?

Algorithme η_T en caractéristique 2

Multiplieurs
parallèles
pipelinés sur
corps fini

Nicolas Estivals

Entrée: $P = (x_P, y_P)$, $Q = (x_Q, y_Q) \in E(\mathbb{F}_{2^m})[\ell]$.

Sortie: $\eta_T(P, Q)^M \in \mathbb{F}_{2^{4m}}^*$.

$$x_P^{(0)} \leftarrow x_P; y_P^{(0)} \leftarrow y_P + \bar{\delta};$$

$$x_Q^{(0)} \leftarrow x_Q; y_Q^{(0)} \leftarrow y_Q;$$

$$u^{(0)} \leftarrow x_P^{(0)} + \alpha; v^{(0)} \leftarrow x_Q^{(0)} + \alpha;$$

$$w^{(0)} \leftarrow y_P^{(0)} + y_Q^{(0)} + \beta;$$

$$g_0^{(0)} \leftarrow u^{(0)} \cdot v^{(0)} + w^{(0)};$$

$$g_1^{(0)} \leftarrow u^{(0)} + v^{(0)} + \alpha; g_2^{(0)} \leftarrow v^{(0)} + (x_P^{(0)})^2;$$

$$x_P^{(1)} \leftarrow \sqrt{x_P^{(0)}}; y_P^{(1)} \leftarrow \sqrt{y_P^{(0)}};$$

$$x_Q^{(1)} \leftarrow (x_Q^{(0)})^2; y_Q^{(1)} \leftarrow (y_Q^{(0)})^2;$$

$$u^{(1)} \leftarrow x_P^{(1)} + \alpha; v^{(1)} \leftarrow x_Q^{(1)} + \alpha;$$

$$w^{(1)} \leftarrow y_P^{(1)} + y_Q^{(1)} + \beta;$$

$$F^{(-1)} \leftarrow (g_0^{(0)} + g_2^{(0)}) + (g_1^{(0)} + 1) s + t;$$

for $i = 0$ to $\frac{m-1}{2}$ do

$$G^{(i)} \leftarrow g_0^{(i)} + g_1^{(i)} s + t;$$

$$F^{(i)} \leftarrow F^{(i-1)} \cdot G^{(i)};$$

$$g_0^{(i+1)} \leftarrow u^{(i+1)} \cdot v^{(i+1)} + w^{(i+1)};$$

$$g_1^{(i+1)} \leftarrow u^{(i+1)} + v^{(i+1)} + \alpha;$$

$$x_P^{(i+2)} \leftarrow \sqrt{x_P^{(i+1)}}; y_P^{(i+2)} \leftarrow \sqrt{y_P^{(i+1)}};$$

$$x_Q^{(i+2)} \leftarrow (x_Q^{(i+1)})^2; y_Q^{(i+2)} \leftarrow (y_Q^{(i+1)})^2;$$

$$u^{(i+2)} \leftarrow x_P^{(i+2)} + \alpha; v^{(i+2)} \leftarrow x_Q^{(i+2)} + \alpha;$$

$$w^{(i+2)} \leftarrow y_P^{(i+2)} + y_Q^{(i+2)} + \beta;$$

end for

Return $(F^{((m-1)/2)})^M$;

◀ Choix de l'algorithme

Contexte

Calcul de
couplage

Algorithmes de
multiplication sur
 \mathbb{F}_{p^m}

Architecture et
implémentation
du multiplieur

Performance du
coprocesseur
complet

Conclusion

Algorithme η_T en caractéristique 3

Multiplieurs
parallèles
pipelinés sur
corps fini

Nicolas Estibals

Entrée: $P = (x_P, y_P), Q = (x_Q, y_Q) \in E(\mathbb{F}_{3^m})[\ell]$.

Sortie: $\eta_T(P, Q)^M \in \mathbb{F}_{3^{6m}}^*$.

1. $x_P^{(0)} \leftarrow x_P - \nu b; y_P^{(0)} \leftarrow -\mu b y_P;$
2. $x_Q^{(0)} \leftarrow x_Q; y_Q^{(0)} \leftarrow -\lambda y_Q;$
3. $t^{(0)} \leftarrow x_P^{(0)} + x_Q^{(0)};$
4. $R^{(-1)} \leftarrow \lambda y_P^{(0)} \cdot t^{(0)} - \lambda y_Q^{(0)} \sigma - \lambda y_P^{(0)};$
5. **for** $i = 0$ to $(m-1)/2$ **do**
6. $S^{(i)} \leftarrow -(t^{(i)})^2 + y_P^{(i)} y_Q^{(i)} \sigma - t^{(i)} \rho - \rho^2;$
7. $R^{(i)} \leftarrow R^{(i-1)} \cdot S^{(i)};$
8. $x_P^{(i+1)} \leftarrow \sqrt[3]{x_P^{(i)}}; y_P^{(i+1)} \leftarrow \sqrt[3]{y_P^{(i)}};$
9. $x_Q^{(i+1)} \leftarrow (x_Q^{(i)})^3; y_Q^{(i+1)} \leftarrow (y_Q^{(i)})^3;$
10. $t^{(i+1)} \leftarrow x_P^{(i)} + x_Q^{(i)};$
11. **end for**
12. **Return** $(R^{((m-1)/2)})^M;$

◀ Choix de l'algorithme

Contexte

Calcul de
couplage

Algorithmes de
multiplication sur
 \mathbb{F}_{p^m}

Architecture et
implémentation
du multiplieur

Performance du
coprocesseur
complet

Conclusion

Algorithmes de Karatsuba-Offman

Multiplieurs
parallèles
pipelinés sur
corps fini

Nicolas Estivals

Algorithme	Séparation	Appels récursifs	Reconstruction
$\mathcal{K}_{2,m}$	$A \rightarrow A_L + X^{\lceil m/2 \rceil} A_H$ $B \rightarrow B_L + X^{\lceil m/2 \rceil} B_H$ $A_M \leftarrow A_H + A_L$ $B_M \leftarrow B_H + B_L$	$p_H \leftarrow A_H * B_H$ $p_M \leftarrow A_M * B_M$ $p_L \leftarrow A_L * B_L$	$S \leftarrow p_H X^{2\lceil m/2 \rceil}$ $+ (p_M - p_H - p_L) X^{\lceil m/2 \rceil}$ $+ p_L$
$\mathcal{K}_{3,m}$	$A \rightarrow A_0 + X^{\lceil m/3 \rceil} A_1 +$ $X^{2\lceil m/3 \rceil} A_2$ $B \rightarrow B_0 +$ $X^{\lceil m/3 \rceil} B_1 +$ $X^{2\lceil m/3 \rceil} B_2$ $A_{S_0} \leftarrow A_1 + A_2$ $A_{S_1} \leftarrow A_0 + A_2$ $A_{S_2} \leftarrow A_1 + A_0$ $B_{S_0} \leftarrow B_1 + B_2$ $B_{S_1} \leftarrow B_0 + B_2$ $B_{S_2} \leftarrow B_1 + B_0$	$p_0 \leftarrow A_0 * B_0$ $p_1 \leftarrow A_1 * B_1$ $p_2 \leftarrow A_2 * B_2$ $p'_0 \leftarrow A_{S_0} * B_{S_0}$ $p'_1 \leftarrow A_{S_1} * B_{S_1}$ $p'_2 \leftarrow A_{S_2} * B_{S_2}$	$S \leftarrow p_2 X^{4\lceil m/3 \rceil}$ $+ (p'_0 - p_1 - p_2) X^{3\lceil m/3 \rceil}$ $+ (p'_1 - p_0 + p_1 - p_2) X^{2\lceil m/3 \rceil}$ $+ (p'_2 - p_1 - p_0) X^{\lceil m/3 \rceil}$ $+ p_0$

Contexte

Calcul de
couplage

Algorithmes de
multiplication sur
 \mathbb{F}_{p^m}

Architecture et
implémentation
du multiplieur

Performance du
coprocesseur
complet

Conclusion

Algorithmes de Karatsuba-Offman sans recouvrement

Multiplieurs
parallèles
pipelinés sur
corps fini

Nicolas Estivals

Algorithme	Séparation	Appels récursifs	Reconstruction
$\mathcal{K}'_{2,(m)}$	$A \rightarrow A_E(X^2) + XA_O(X^2)$ $B \rightarrow B_E(X^2) + XB_O(X^2)$ $A_M \leftarrow A_O + A_E$ $B_M \leftarrow B_O + B_E$	$p_O \leftarrow A_O * B_O$ $p_M \leftarrow A_M * B_M$ $p_E \leftarrow A_E * B_E$	$S \leftarrow (p_E + Xp_O)(X^2)$ $+ X(p_M - p_E - p_O)(X^2)$
$\mathcal{K}'_{3,(m)}$	$A \rightarrow A_0(X^3) + XA_1(X^3) + X^2A_2(X^3)$ $B \rightarrow B_0(X^3) + XB_1(X^3) + X^2B_2(X^3)$ $A_{S_0} \leftarrow A_1 + A_2$ $A_{S_1} \leftarrow A_0 + A_2$ $A_{S_2} \leftarrow A_1 + A_0$ $B_{S_0} \leftarrow B_1 + B_2$ $B_{S_1} \leftarrow B_0 + B_2$ $B_{S_2} \leftarrow B_1 + B_0$	$p_0 \leftarrow A_0 * B_0$ $p_1 \leftarrow A_1 * B_1$ $p_2 \leftarrow A_2 * B_2$ $p'_0 \leftarrow A_{S_0} * B_{S_0}$ $p'_1 \leftarrow A_{S_1} * B_{S_1}$ $p'_2 \leftarrow A_{S_2} * B_{S_2}$	$S \leftarrow (p_0 + X(p'_0 - p_1 - p_2))(X^3)$ $+ X(p'_2 - p_0 - p_1 + Xp_2)(X^3)$ $+ X^2(p_1 + p'_1 - p_2 - p_0)(X^3)$

Contexte

Calcul de
couplage

Algorithmes de
multiplication sur
 \mathbb{F}_{p^m}

Architecture et
implémentation
du multiplieur

Performance du
coprocesseur
complet

Conclusion